

CURSO DE COSMOLOGIA

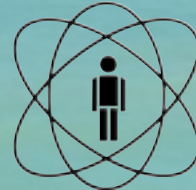
2013B

PARTE I

AULA 4

MARTÍN MAKLER
CBPF

ICRA



CBPF

MCTI



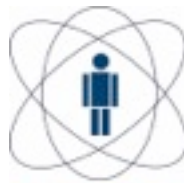


Lembrando....

Conservação da Energia + Eq. de Friedmann: Parâmetro de Hubble

$$H^2(a) = H_0^2 \left[\Omega_r \left(\frac{a}{a_0} \right)^{-4} + \Omega_M \left(\frac{a}{a_0} \right)^{-3} + \Omega_K \left(\frac{a}{a_0} \right)^{-2} + \Omega_\Lambda \right]$$

$$\Omega_k = -\frac{K}{H_0^2}$$



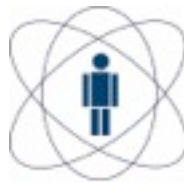
Lembrando....

Conservação da Energia + Eq. de Friedmann: Parâmetro de Hubble

$$H^2(a) = H_0^2 \left[\Omega_r \left(\frac{a}{a_0} \right)^{-4} + \Omega_M \left(\frac{a}{a_0} \right)^{-3} + \Omega_K \left(\frac{a}{a_0} \right)^{-2} + \Omega_\Lambda \right]$$

$$ds^2 = dt^2 - a^2(t) \left(\frac{1}{1 - Kr^2} dr^2 + r^2 d\theta^2 + r^2 \sin^2\theta d\phi^2 \right)$$

$$\Omega_k = -\frac{K}{H_0^2}$$



Lembrando....

Conservação da Energia + Eq. de Friedmann: Parâmetro de Hubble

$$H^2(a) = H_0^2 \left[\Omega_r \left(\frac{a}{a_0} \right)^{-4} + \Omega_M \left(\frac{a}{a_0} \right)^{-3} + \Omega_K \left(\frac{a}{a_0} \right)^{-2} + \Omega_\Lambda \right]$$

Métrica:

$$ds^2 = dt^2 - a^2(t) \left(\frac{1}{1 - Kr^2} dr^2 + r^2 d\theta^2 + r^2 \sin^2\theta d\phi^2 \right)$$

$$\Omega_k = -\frac{K}{H_0^2}$$



Lembrando....

Conservação da Energia + Eq. de Friedmann: Parâmetro de Hubble

$$H^2(a) = H_0^2 \left[\Omega_r \left(\frac{a}{a_0} \right)^{-4} + \Omega_M \left(\frac{a}{a_0} \right)^{-3} + \Omega_K \left(\frac{a}{a_0} \right)^{-2} + \Omega_\Lambda \right]$$

Métrica:

$$ds^2 = dt^2 - a^2(t) \left(\frac{1}{1 - Kr^2} dr^2 + r^2 d\theta^2 + r^2 \sin^2\theta d\phi^2 \right)$$

$$\Omega_k = -\frac{K}{H_0^2}$$

$$\int_{t_1}^{t_0} \frac{dt}{a(t)} = \int_0^{r_1} \frac{dr}{\sqrt{1 - Kr^2}} \equiv f(r_1)$$



Lembrando....

Conservação da Energia + Eq. de Friedmann: Parâmetro de Hubble

$$H^2(a) = H_0^2 \left[\Omega_r \left(\frac{a}{a_0} \right)^{-4} + \Omega_M \left(\frac{a}{a_0} \right)^{-3} + \Omega_K \left(\frac{a}{a_0} \right)^{-2} + \Omega_\Lambda \right]$$

Métrica:

$$ds^2 = dt^2 - a^2(t) \left(\frac{1}{1 - Kr^2} dr^2 + r^2 d\theta^2 + r^2 \sin^2\theta d\phi^2 \right)$$

$$\Omega_k = -\frac{K}{H_0^2}$$

$$\int_{t_1}^{t_0} \frac{dt}{a(t)} = \int_0^{r_1} \frac{dr}{\sqrt{1 - Kr^2}} \equiv f(r_1) \quad \frac{\delta t_1}{a(t_1)} = \frac{\delta t_0}{a(t_0)}$$



Lembrando....

Conservação da Energia + Eq. de Friedmann: Parâmetro de Hubble

$$H^2(a) = H_0^2 \left[\Omega_r \left(\frac{a}{a_0} \right)^{-4} + \Omega_M \left(\frac{a}{a_0} \right)^{-3} + \Omega_K \left(\frac{a}{a_0} \right)^{-2} + \Omega_\Lambda \right]$$

Métrica:

$$ds^2 = dt^2 - a^2(t) \left(\frac{1}{1 - Kr^2} dr^2 + r^2 d\theta^2 + r^2 \sin^2\theta d\phi^2 \right)$$

$$\Omega_k = -\frac{K}{H_0^2}$$

$$\int_{t_1}^{t_0} \frac{dt}{a(t)} = \int_0^{r_1} \frac{dr}{\sqrt{1 - Kr^2}} \equiv f(r_1) \quad \Rightarrow \quad \frac{\delta t_1}{a(t_1)} = \frac{\delta t_0}{a(t_0)}$$



Lembrando....

Conservação da Energia + Eq. de Friedmann: Parâmetro de Hubble

$$H^2(a) = H_0^2 \left[\Omega_r \left(\frac{a}{a_0} \right)^{-4} + \Omega_M \left(\frac{a}{a_0} \right)^{-3} + \Omega_K \left(\frac{a}{a_0} \right)^{-2} + \Omega_\Lambda \right]$$

Métrica:

$$ds^2 = dt^2 - a^2(t) \left(\frac{1}{1 - Kr^2} dr^2 + r^2 d\theta^2 + r^2 \sin^2\theta d\phi^2 \right)$$

$$\Omega_k = -\frac{K}{H_0^2}$$

Trajetória da luz (geodésica nula)

$$\int_{t_1}^{t_0} \frac{dt}{a(t)} = \int_0^{r_1} \frac{dr}{\sqrt{1 - Kr^2}} \equiv f(r_1) \quad \Rightarrow \quad \frac{\delta t_1}{a(t_1)} = \frac{\delta t_0}{a(t_0)}$$



Lembrando....

Conservação da Energia + Eq. de Friedmann: Parâmetro de Hubble

$$H^2(a) = H_0^2 \left[\Omega_r \left(\frac{a}{a_0} \right)^{-4} + \Omega_M \left(\frac{a}{a_0} \right)^{-3} + \Omega_K \left(\frac{a}{a_0} \right)^{-2} + \Omega_\Lambda \right]$$

Métrica:

$$ds^2 = dt^2 - a^2(t) \left(\frac{1}{1 - Kr^2} dr^2 + r^2 d\theta^2 + r^2 \sin^2\theta d\phi^2 \right)$$

$$\Omega_k = -\frac{K}{H_0^2}$$

Trajetória da luz (geodésica nula)

$$\int_{t_1}^{t_0} \frac{dt}{a(t)} = \int_0^{r_1} \frac{dr}{\sqrt{1 - Kr^2}} \equiv f(r_1) \quad \Rightarrow \quad \frac{\delta t_1}{a(t_1)} = \frac{\delta t_0}{a(t_0)}$$

$$z := \frac{\lambda_0 - \lambda_1}{\lambda_1} = \frac{a(t_0)}{a(t_1)} - 1$$



Lembrando....

Conservação da Energia + Eq. de Friedmann: Parâmetro de Hubble

$$H^2(a) = H_0^2 \left[\Omega_r \left(\frac{a}{a_0} \right)^{-4} + \Omega_M \left(\frac{a}{a_0} \right)^{-3} + \Omega_K \left(\frac{a}{a_0} \right)^{-2} + \Omega_\Lambda \right]$$

Métrica:

$$ds^2 = dt^2 - a^2(t) \left(\frac{1}{1 - Kr^2} dr^2 + r^2 d\theta^2 + r^2 \sin^2\theta d\phi^2 \right)$$

$$\Omega_k = -\frac{K}{H_0^2}$$

Trajetória da luz (geodésica nula)

$$\int_{t_1}^{t_0} \frac{dt}{a(t)} = \int_0^{r_1} \frac{dr}{\sqrt{1 - Kr^2}} \equiv f(r_1) \quad \Rightarrow \quad \frac{\delta t_1}{a(t_1)} = \frac{\delta t_0}{a(t_0)}$$



$$z := \frac{\lambda_0 - \lambda_1}{\lambda_1} = \frac{a(t_0)}{a(t_1)} - 1$$



Lembrando....

Conservação da Energia + Eq. de Friedmann: Parâmetro de Hubble

$$H^2(a) = H_0^2 \left[\Omega_r \left(\frac{a}{a_0} \right)^{-4} + \Omega_M \left(\frac{a}{a_0} \right)^{-3} + \Omega_K \left(\frac{a}{a_0} \right)^{-2} + \Omega_\Lambda \right]$$

Métrica:

$$ds^2 = dt^2 - a^2(t) \left(\frac{1}{1 - Kr^2} dr^2 + r^2 d\theta^2 + r^2 \sin^2\theta d\phi^2 \right)$$

$$\Omega_k = -\frac{K}{H_0^2}$$

Trajetória da luz (geodésica nula)

$$\int_{t_1}^{t_0} \frac{dt}{a(t)} = \int_0^{r_1} \frac{dr}{\sqrt{1 - Kr^2}} \equiv f(r_1) \quad \Rightarrow \quad \frac{\delta t_1}{a(t_1)} = \frac{\delta t_0}{a(t_0)}$$

**Desvio para
o vermelho**



$$z := \frac{\lambda_0 - \lambda_1}{\lambda_1} = \frac{a(t_0)}{a(t_1)} - 1$$



Lembrando....

Conservação da Energia + Eq. de Friedmann: Parâmetro de Hubble

$$H^2(a) = H_0^2 \left[\Omega_r \left(\frac{a}{a_0} \right)^{-4} + \Omega_M \left(\frac{a}{a_0} \right)^{-3} + \Omega_K \left(\frac{a}{a_0} \right)^{-2} + \Omega_\Lambda \right]$$

Métrica:

$$ds^2 = dt^2 - a^2(t) \left(\frac{1}{1 - Kr^2} dr^2 + r^2 d\theta^2 + r^2 \sin^2\theta d\phi^2 \right)$$

$$\Omega_k = -\frac{K}{H_0^2}$$

Trajetória da luz (geodésica nula)

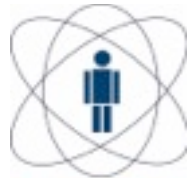
$$\int_{t_1}^{t_0} \frac{dt}{a(t)} = \int_0^{r_1} \frac{dr}{\sqrt{1 - Kr^2}} \equiv f(r_1) \quad \Rightarrow \quad \frac{\delta t_1}{a(t_1)} = \frac{\delta t_0}{a(t_0)}$$

Desvio para o vermelho



$$z := \frac{\lambda_0 - \lambda_1}{\lambda_1} = \frac{a(t_0)}{a(t_1)} - 1$$

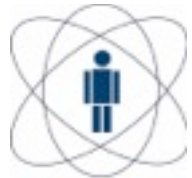
$$\frac{a(t)}{a_0} = (1 + z)^{-1}$$



Distância de Luminosidade

$$d_L^2 := \frac{L}{4\pi F}$$

F : Energia por unidade de área
por unidade de tempo



Distância de Luminosidade

$$d_L^2 := \frac{L}{4\pi F}$$

F : Energia por unidade de área
por unidade de tempo

Área da S^2 centrada na fonte no instante de detecção t_0 : $4\pi a^2(t_0)r_1^2$



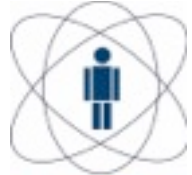
Distância de Luminosidade

$$d_L^2 := \frac{L}{4\pi F}$$

F : Energia por unidade de área
por unidade de tempo

Área da S^2 centrada na fonte no instante de detecção t_0 : $4\pi a^2(t_0)r_1^2$

Variação da energia: $h\nu_1/h\nu_0 = (1+z)^{-1}$



Distância de Luminosidade

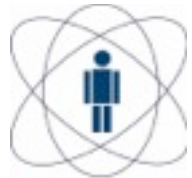
$$d_L^2 := \frac{L}{4\pi F}$$

F : Energia por unidade de área
por unidade de tempo

Área da S^2 centrada na fonte no instante de detecção t_0 : $4\pi a^2(t_0)r_1^2$

Variação da energia: $h\nu_1/h\nu_0 = (1+z)^{-1}$

Diferença de tempo: $\delta t_0/\delta t_1 = a(t_0)/a(t_1) = 1+z$



Distância de Luminosidade

$$d_L^2 := \frac{L}{4\pi F}$$

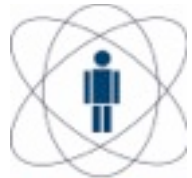
F : Energia por unidade de área
por unidade de tempo

Área da S^2 centrada na fonte no instante de detecção t_0 : $4\pi a^2(t_0)r_1^2$

Variação da energia: $h\nu_1/h\nu_0 = (1+z)^{-1}$

Diferença de tempo: $\delta t_0/\delta t_1 = a(t_0)/a(t_1) = 1+z$

Logo: $F = \frac{L'}{4\pi a^2(t_0)r_1^2}$



Distância de Luminosidade

$$d_L^2 := \frac{L}{4\pi F}$$

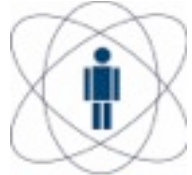
F : Energia por unidade de área
por unidade de tempo

Área da S^2 centrada na fonte no instante de detecção t_0 : $4\pi a^2(t_0)r_1^2$

Variação da energia: $h\nu_1/h\nu_0 = (1+z)^{-1}$

Diferença de tempo: $\delta t_0/\delta t_1 = a(t_0)/a(t_1) = 1+z$

Logo: $F = \frac{L'}{4\pi a^2(t_0)r_1^2} = \frac{L}{4\pi a^2(t_0)r_1^2(1+z)^2}$



Distância de Luminosidade

$$d_L^2 := \frac{L}{4\pi F}$$

F : Energia por unidade de área
por unidade de tempo

Área da S^2 centrada na fonte no instante de detecção t_0 : $4\pi a^2(t_0)r_1^2$

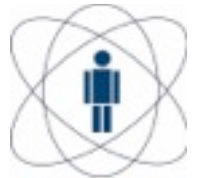
Variação da energia: $h\nu_1/h\nu_0 = (1+z)^{-1}$

Diferença de tempo: $\delta t_0/\delta t_1 = a(t_0)/a(t_1) = 1+z$

Logo: $F = \frac{L'}{4\pi a^2(t_0)r_1^2} = \frac{L}{4\pi a^2(t_0)r_1^2(1+z)^2}$



$$d_L^2 = a^2(t_0)r_1^2(1+z)^2$$



Distância de Luminosidade

$$d_L = a(t_0)r_1(1+z)$$

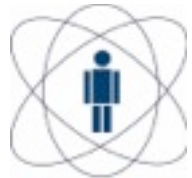


Distância de Luminosidade

$$d_L = a(t_0)r_1(1+z)$$

Como

$$\int_{t_1}^{t_0} \frac{dt}{a(t)} = \int_0^{r_1} \frac{dr}{\sqrt{1 - Kr^2}} = \begin{cases} \sin^{-1} \left(\sqrt{|K|} r_1 \right) / \sqrt{|K|}, & \text{para } K > 0 \\ r_1, & \text{para } K = 0 \\ \sinh^{-1} \left(\sqrt{|K|} r_1 \right) / \sqrt{|K|}, & \text{para } K < 0 \end{cases}$$



Distância de Luminosidade

$$d_L = a(t_0)r_1(1+z)$$

Como

$$\int_{t_1}^{t_0} \frac{dt}{a(t)} = \int_0^{r_1} \frac{dr}{\sqrt{1 - Kr^2}} = \begin{cases} \sin^{-1} \left(\sqrt{|K|} r_1 \right) / \sqrt{|K|}, & \text{para } K > 0 \\ r_1, & \text{para } K = 0 \\ \sinh^{-1} \left(\sqrt{|K|} r_1 \right) / \sqrt{|K|}, & \text{para } K < 0 \end{cases}$$

$$\int_{t_1}^{t_0} \frac{dt}{a} = \int_{t_1}^{t_0} \frac{da}{\dot{a}a} = - \int_z^0 \frac{dz'}{H}$$



Distância de Luminosidade

$$d_L = a(t_0)r_1(1+z)$$

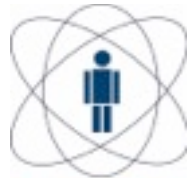
Como

$$\int_{t_1}^{t_0} \frac{dt}{a(t)} = \int_0^{r_1} \frac{dr}{\sqrt{1 - Kr^2}} = \begin{cases} \sin^{-1} \left(\sqrt{|K|} r_1 \right) / \sqrt{|K|}, & \text{para } K > 0 \\ r_1, & \text{para } K = 0 \\ \sinh^{-1} \left(\sqrt{|K|} r_1 \right) / \sqrt{|K|}, & \text{para } K < 0 \end{cases}$$

$$\int_{t_1}^{t_0} \frac{dt}{a} = \int_{t_1}^{t_0} \frac{da}{\dot{a}a} = - \int_z^0 \frac{dz'}{H}$$

teremos

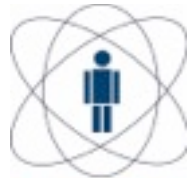
$$d_L = (1+z) \operatorname{sen}_K \left(H_0 \sqrt{|1-\Omega_0|} \int_0^z \frac{dz'}{H(z')} \right) / H_0 \sqrt{|1-\Omega_0|}$$



Distância de Luminosidade

No caso plano:

$$d_L = (1+z) \int_0^z \frac{dz'}{H(z')}$$



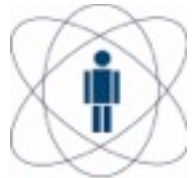
Distância de Luminosidade

No caso plano:

$$d_L = (1+z) \int_0^z \frac{dz'}{H(z')}$$

Lembrando que (no modelo LCDM)

$$H^2(a) = H_0^2 \left[\Omega_r a^{-4} + \Omega_M a^{-3} + \Omega_k a^{-2} + \Omega_\Lambda \right]$$



Distância de Luminosidade

No caso plano:

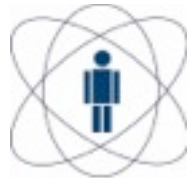
$$d_L = (1+z) \int_0^z \frac{dz'}{H(z')}$$

Lembrando que (no modelo LCDM)

$$H^2(a) = H_0^2 \left[\Omega_r a^{-4} + \Omega_M a^{-3} + \Omega_k a^{-2} + \Omega_\Lambda \right]$$

temos

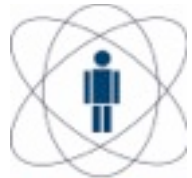
$$d_L = \frac{(1+z)}{H_0} \int_0^z \frac{dz'}{\sqrt{\Omega_r (1+z')^4 + \Omega_M (1+z')^3 + \Omega_\Lambda}}$$



Distância de Luminosidade

Expansão em série (**independente do modelo**):

Em 1^a ordem

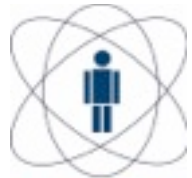


Distância de Luminosidade

Expansão em série (**independente do modelo**):

Em 1^a ordem

$$H_0 d_L(z) = cz$$

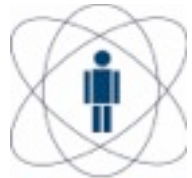


Distância de Luminosidade

Expansão em série (**independente do modelo**):

Em 1^a ordem

$$H_0 d_L(z) = cz \quad \leftarrow \quad \text{“Lei” de Hubble}$$



Distância de Luminosidade

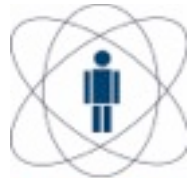
Expansão em série (**independente do modelo**):

Em 1^a ordem

$$H_0 d_L(z) = cz \quad \leftarrow \quad \text{“Lei” de Hubble}$$

Exercício: obter, em 2^a ordem

$$H_0 d_L(z) = cz \left[1 + \frac{1}{2} (1 - q_0) z \right]$$



Distância de Luminosidade

Expansão em série (**independente do modelo**):

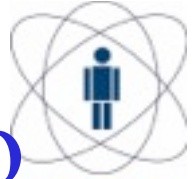
Em 1^a ordem

$$H_0 d_L(z) = cz \quad \leftarrow \quad \text{“Lei” de Hubble}$$

Exercício: obter, em 2^a ordem

$$H_0 d_L(z) = cz \left[1 + \frac{1}{2} (1 - q_0) z \right]$$

Dica: expandir $\frac{1}{a(t)}$ em série de potências



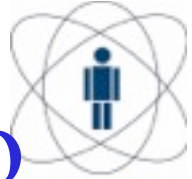
O parâmetro de desaceleração

Em 2^a ordem

$$H_0 d_L(z) = cz \left[1 + \frac{1}{2} (1 - q_0) z \right]$$

onde

$$q_0 = -\frac{\ddot{a}_0}{a_0 H_0^2}$$



O parâmetro de desaceleração

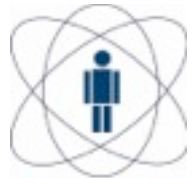
Em 2^a ordem

$$H_0 d_L(z) = cz \left[1 + \frac{1}{2} (1 - q_0) z \right]$$

onde

$$q_0 = -\frac{\ddot{a}_0}{a_0 H_0^2}$$

Exercício: obter a equação para \ddot{a} e relacionar com os parâmetros cosmológicos



Sacolejada, estalo...

Exercício: obter, em 3^a ordem

$$H_0 d_L(z) = cz \left[1 + \frac{1}{2} (1 - q_0) z - \frac{1}{6} \left(1 - q_0 - 3q_0^2 + j_0 + \frac{Kc^2}{H_0^2} \right) z^2 + O(z^3) \right]$$

onde $j_0 = \frac{\ddot{a}_0}{a_0 H_0^3}$ é a sacolejada

Termo de 4^a ordem

$$\frac{cz}{H_0} \frac{1}{24} \left[2(1 - q_0) - 15q_0^2(1 + q_0) + 5j_0 + 10q_0 j_0 + s_0 + \left(\frac{2Kc^2(1 + 3q_0)}{H_0^2} \right) \right] z^3$$

onde $s_0 = \frac{\dddot{a}_0}{a_0 H_0^4}$ é o estalo

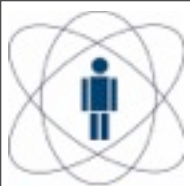
Dica: ver <http://arxiv.org/pdf/gr-qc/0309109>



O Lado Escuro do Universo

Episódio II





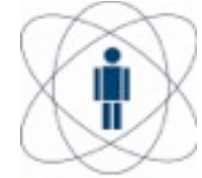
O Lado Escuro do Universo

Episódio II

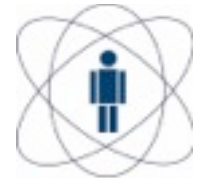
O Universo Acelerado



Supernovas do Tipo Ia e Cosmologia



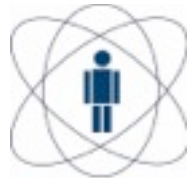
Supernovas do Tipo Ia e Cosmologia



Vantagens:



Supernovas do Tipo Ia e Cosmologia

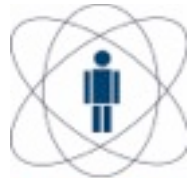


Vantagens:

- Luminosidade



Supernovas do Tipo Ia e Cosmologia

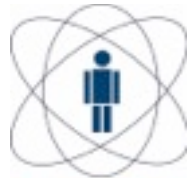


Vantagens:

- Luminosidade Extrema



Supernovas do Tipo Ia e Cosmologia

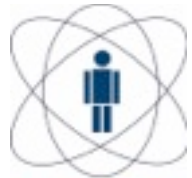


Vantagens:

- Luminosidade Extrema
 $(10^9 - 10^{10} L_\odot)$



Supernovas do Tipo Ia e Cosmologia

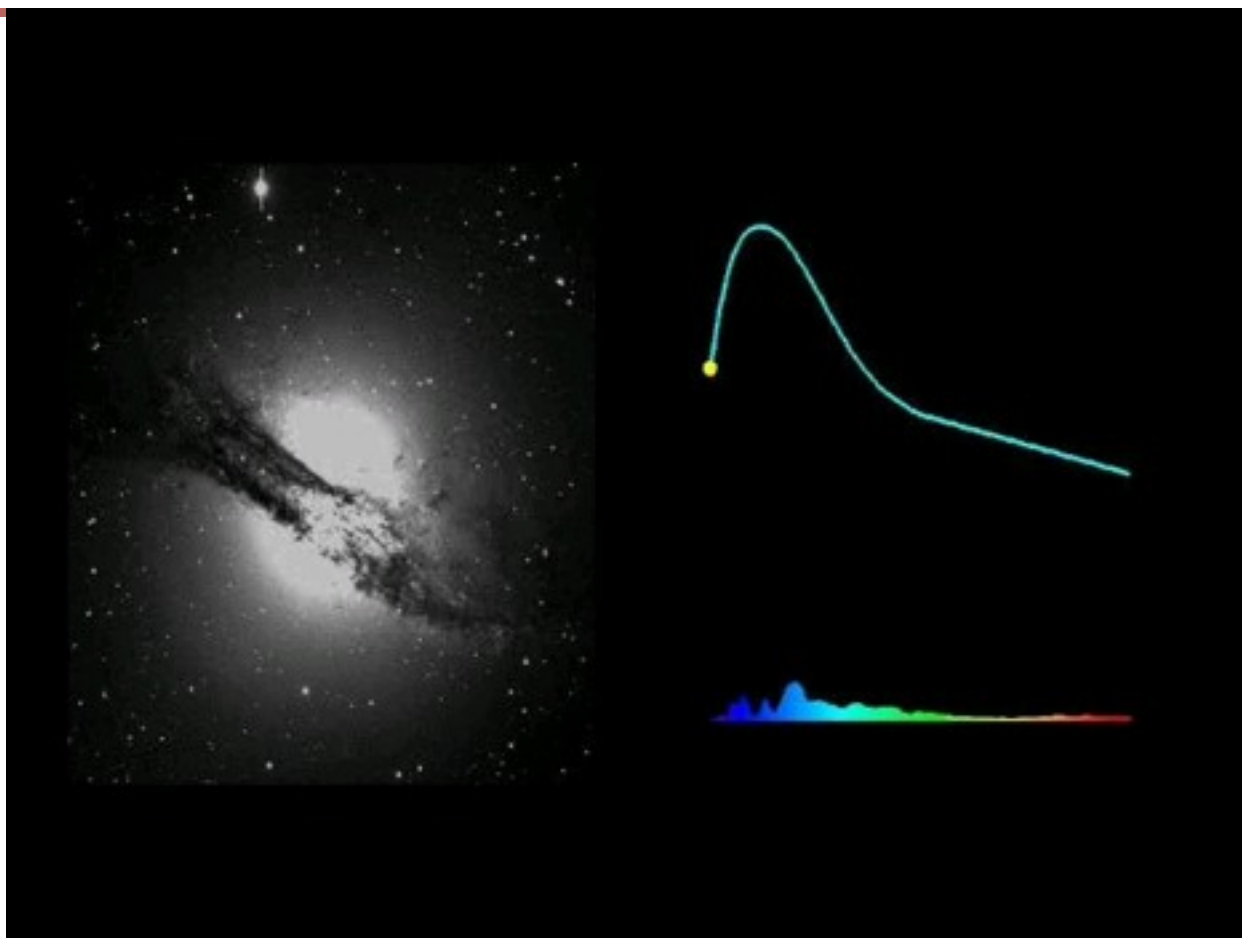
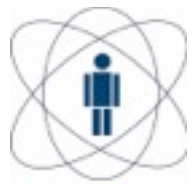


Vantagens:

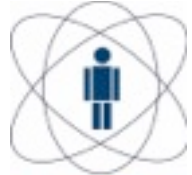
- Luminosidade Extrema
 $(10^9 - 10^{10} L_\odot)$

→ Podem ser vistas a grandes distâncias





Curvas de luz de Supernovas do Tipo Ia



Altamente homogêneas

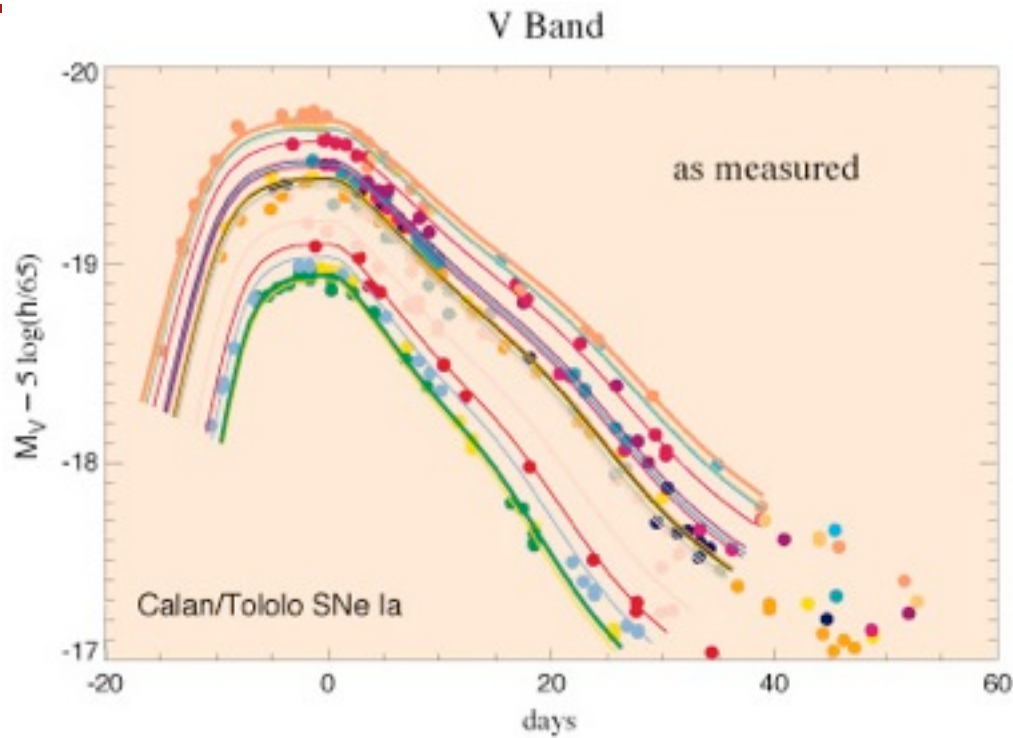
→ Velas padronizáveis

Curvas de luz de Supernovas do Tipo Ia



Altamente homogêneas

→ Velas padronizáveis

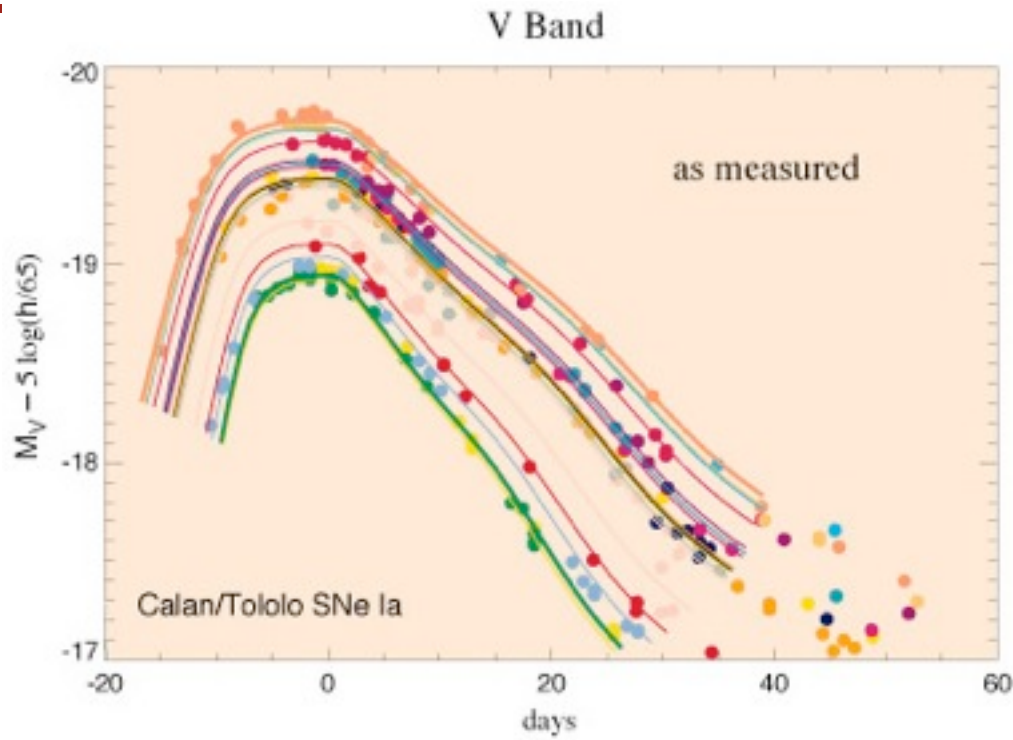


Curvas de luz de Supernovas do Tipo Ia



Altamente homogêneas

→ Velas padronizáveis

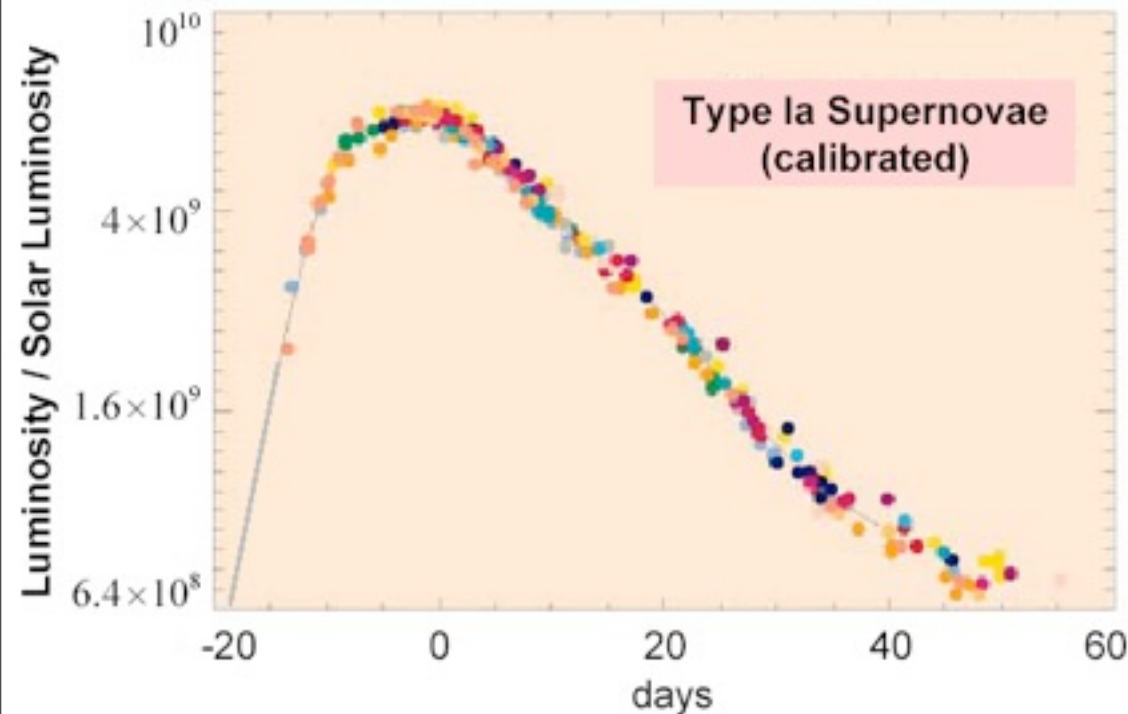
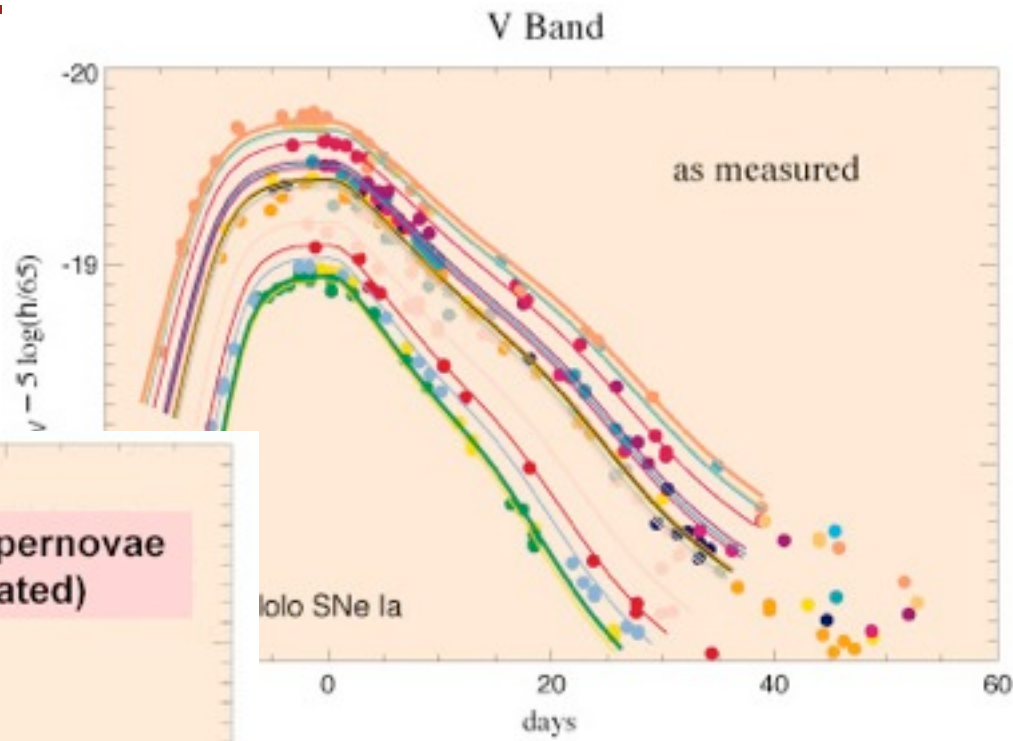


Curvas de luz de Supernovas do Tipo Ia

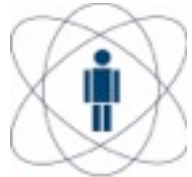


Altamente homogêneas

→ Velas padronizáveis



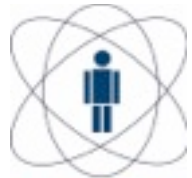
Supernovas do Tipo Ia e Cosmologia



Vantagens:

- Luminosidade Extrema
(10^9 - $10^{10} L_\odot$)
- Altamente homogêneas
- ➔ Velas padronizáveis

Supernovas do Tipo Ia e Cosmologia



Vantagens:

- Luminosidade Extrema
(10^9 - 10^{10} L_\odot)
- Altamente homogêneas
- ➔ Velas padronizáveis

Desvantagens:

- Eventos raros e aleatórios
 $\sim 1/500$ ano/galáxia
- Duração curta

Solução:

- Busca automatizada
- SCP, High-z team

Supernovas do Tipo Ia e Cosmologia



Vantagens:

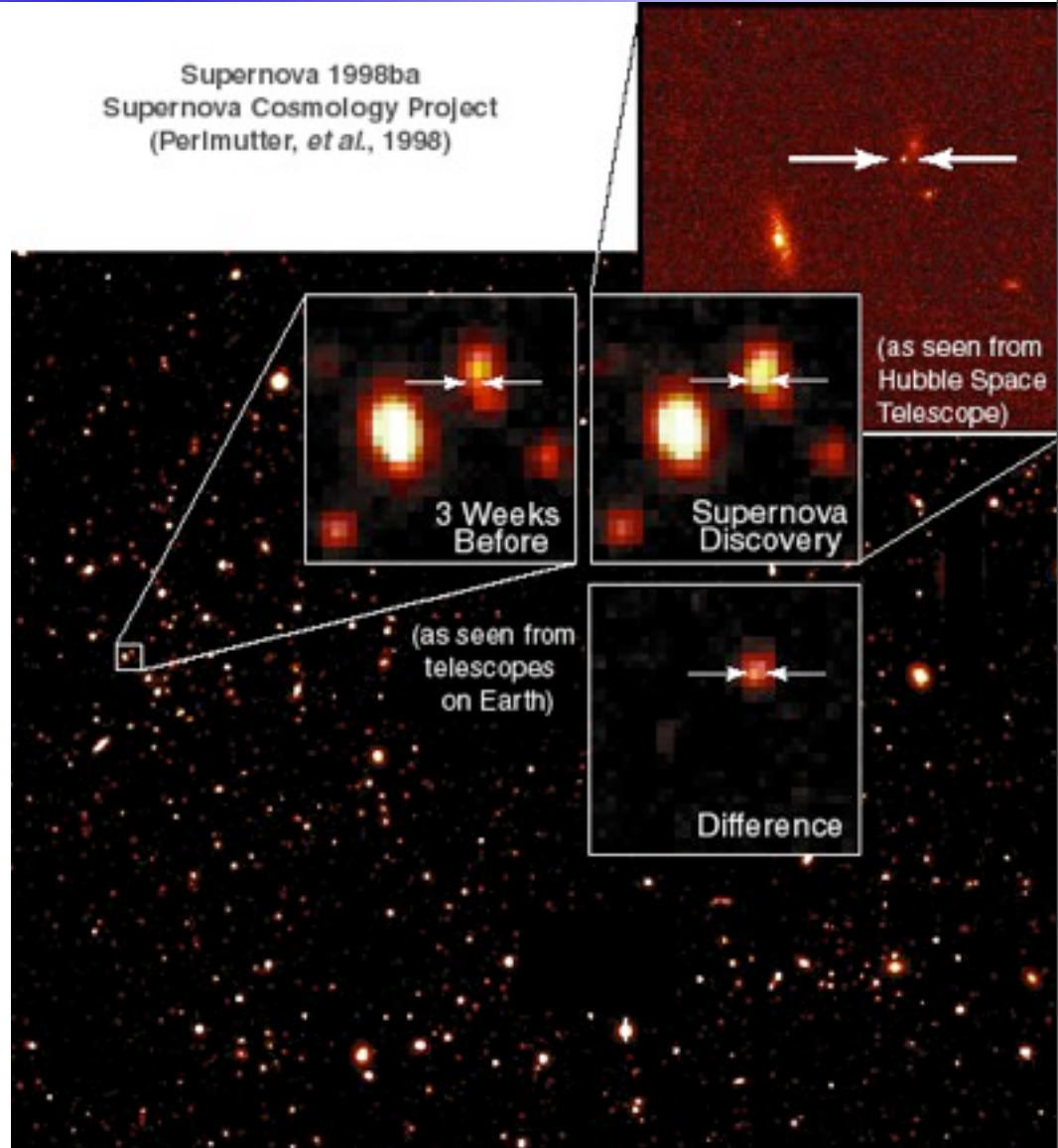
- Luminosidade Extrema
(10^9 - 10^{10} L_\odot)
- Altamente homogêneas
- ➔ Velas padronizáveis

Desvantagens:

- Eventos raros e aleatórios
 $\sim 1/500$ ano/galáxia
- Duração curta

Solução:

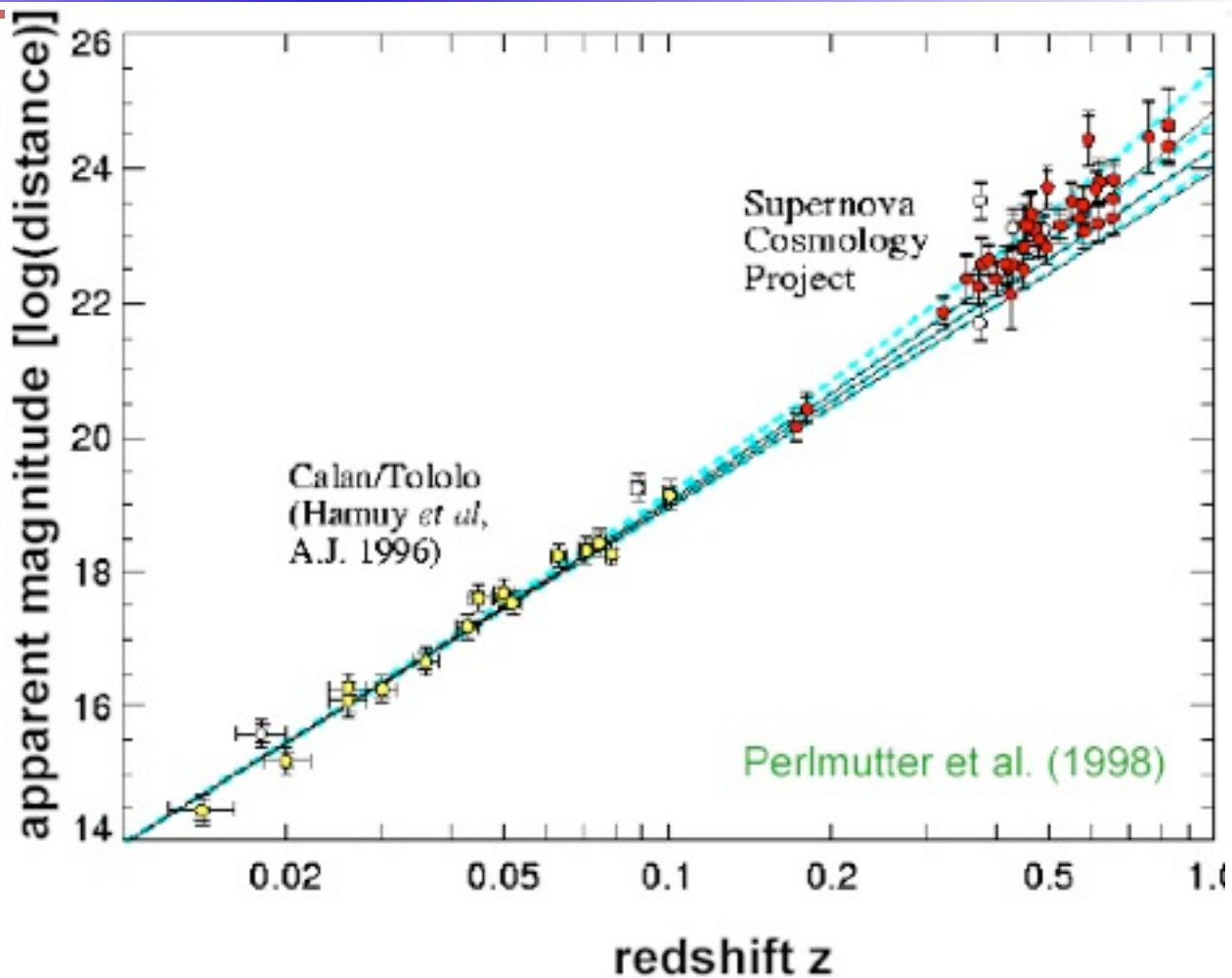
- Busca automatizada
- SCP, High-z team





O Universo Acelerado

Diagrama de
Hubble para
grandes distâncias



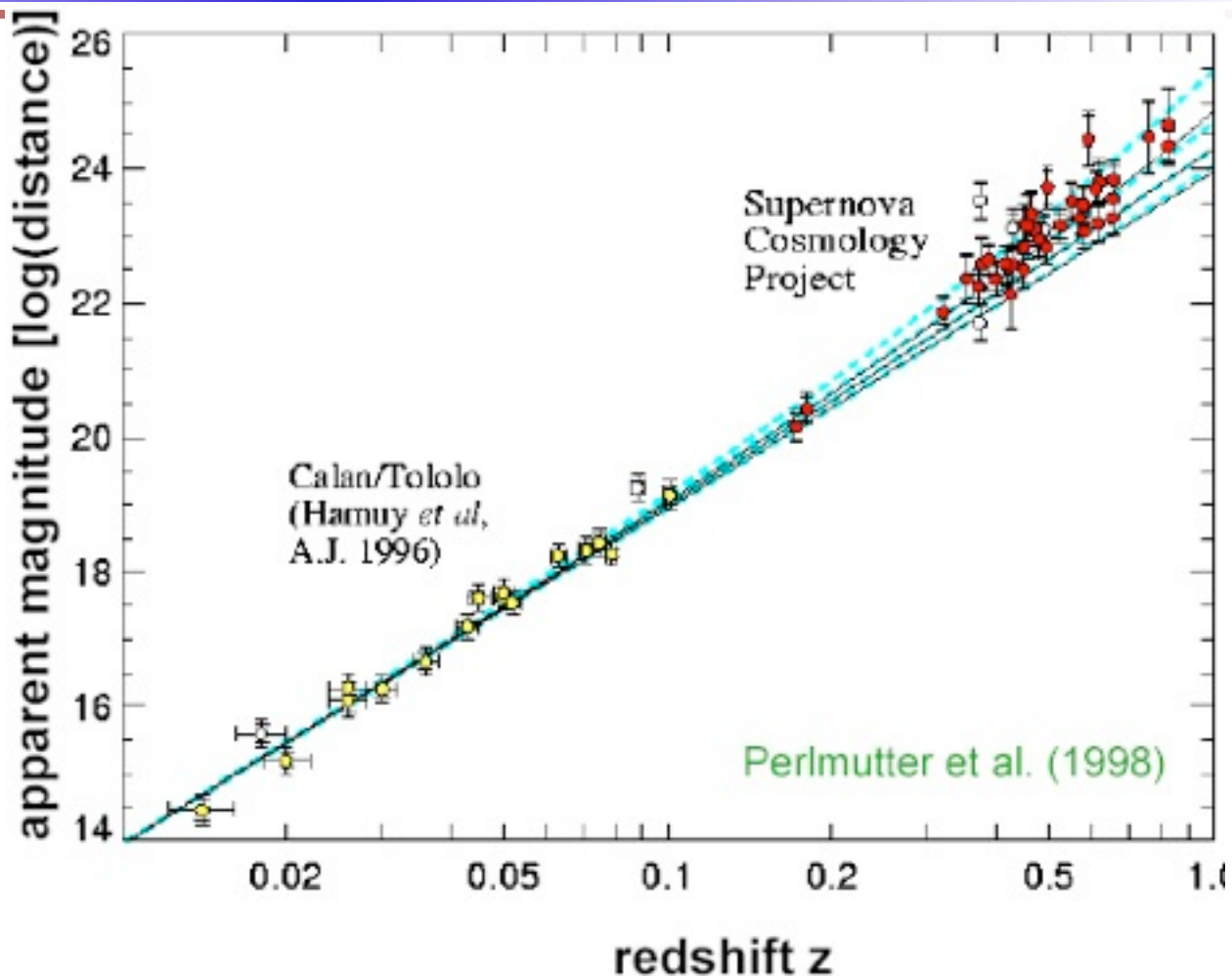


O Universo Acelerado

Diagrama de Hubble para grandes distâncias

O Universo está em expansão acelerada.

Mas





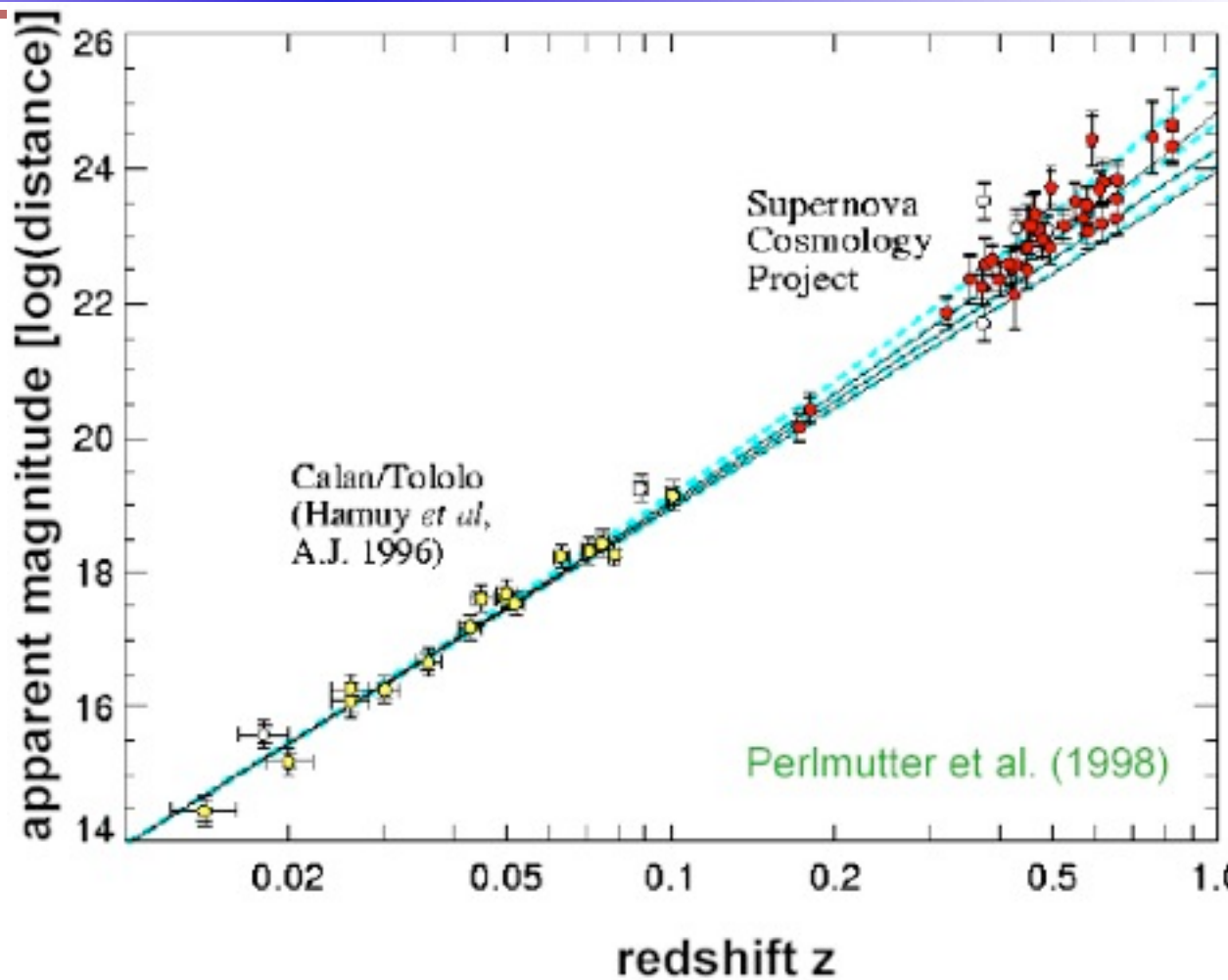
O Universo Acelerado

Diagrama de Hubble para grandes distâncias

O Universo está em expansão acelerada.

Mas

$$\frac{\ddot{a}}{a} = -\frac{4\pi G}{3}(\rho + 3P)$$





O Universo Acelerado

Diagrama de Hubble para grandes distâncias

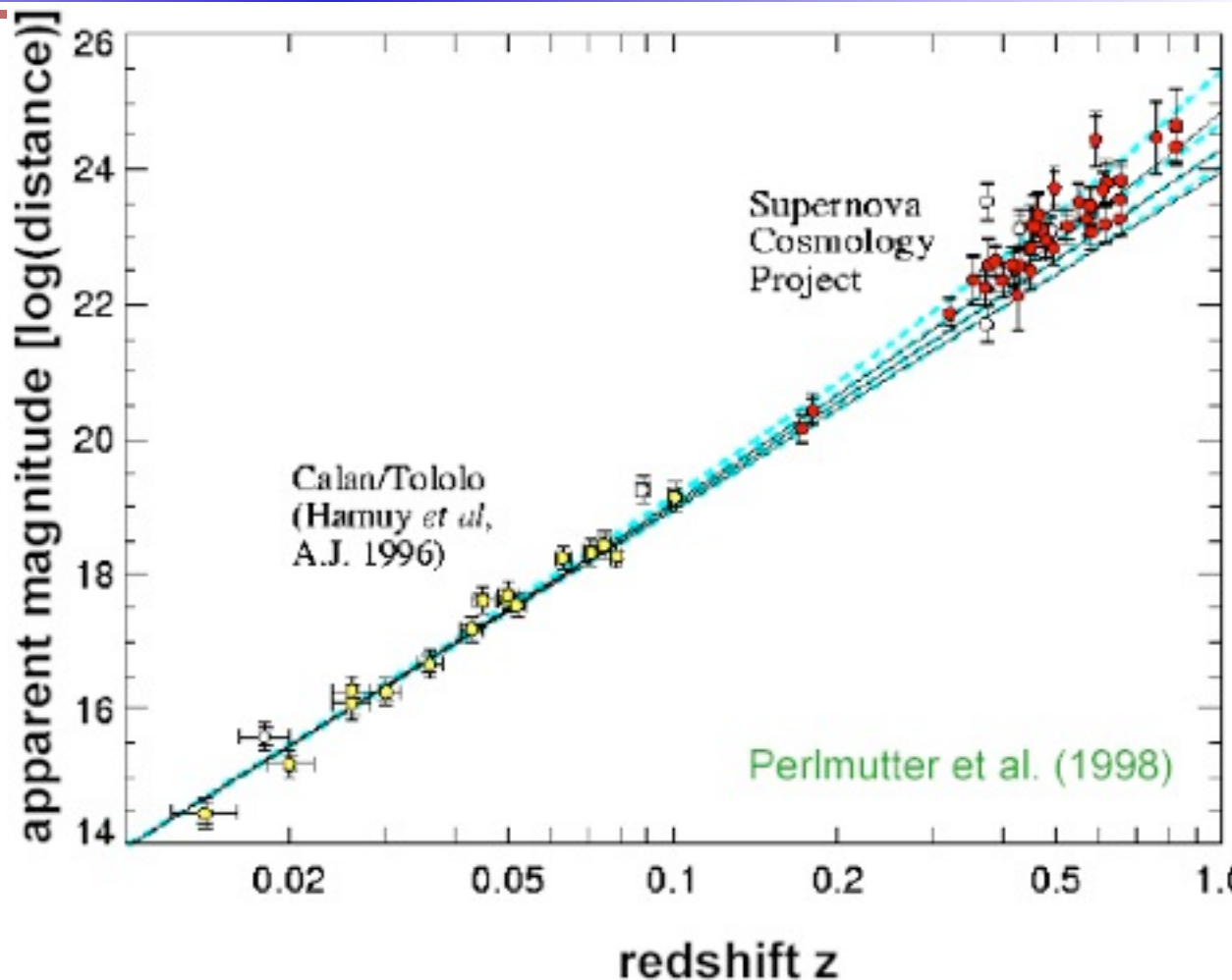
O Universo está em expansão acelerada.

Mas

$$\frac{\ddot{a}}{a} = -\frac{4\pi G}{3}(\rho + 3P)$$



Energia escura, ou constante cosmológica!





O Universo Acelerado

Diagrama de Hubble para grandes distâncias

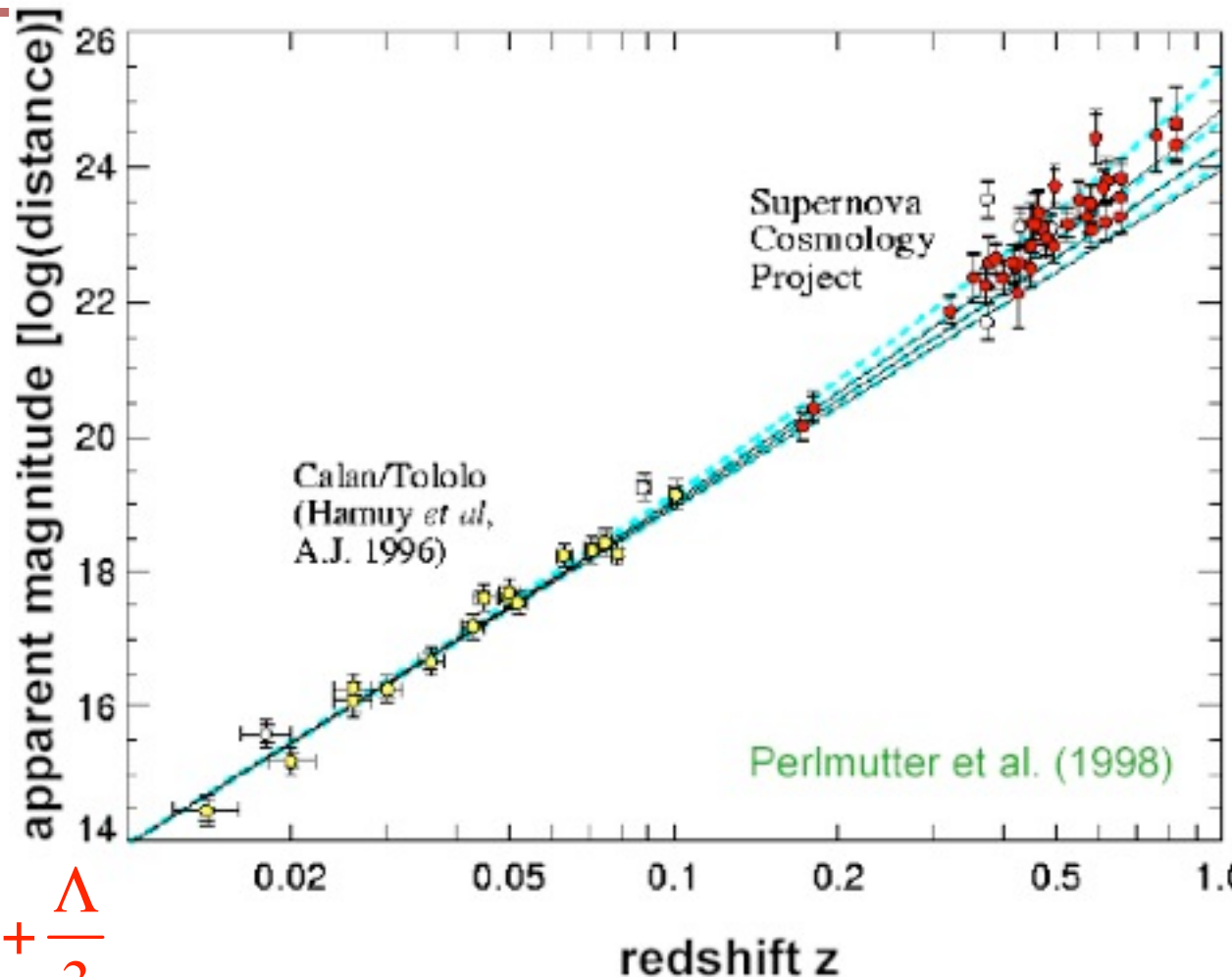
O Universo está em expansão acelerada.

Mas

$$\frac{\ddot{a}}{a} = -\frac{4\pi G}{3}(\rho + 3P) + \frac{\Lambda}{3}$$



Energia escura, ou constante cosmológica!





O Universo Acelerado

Diagrama de Hubble para grandes distâncias

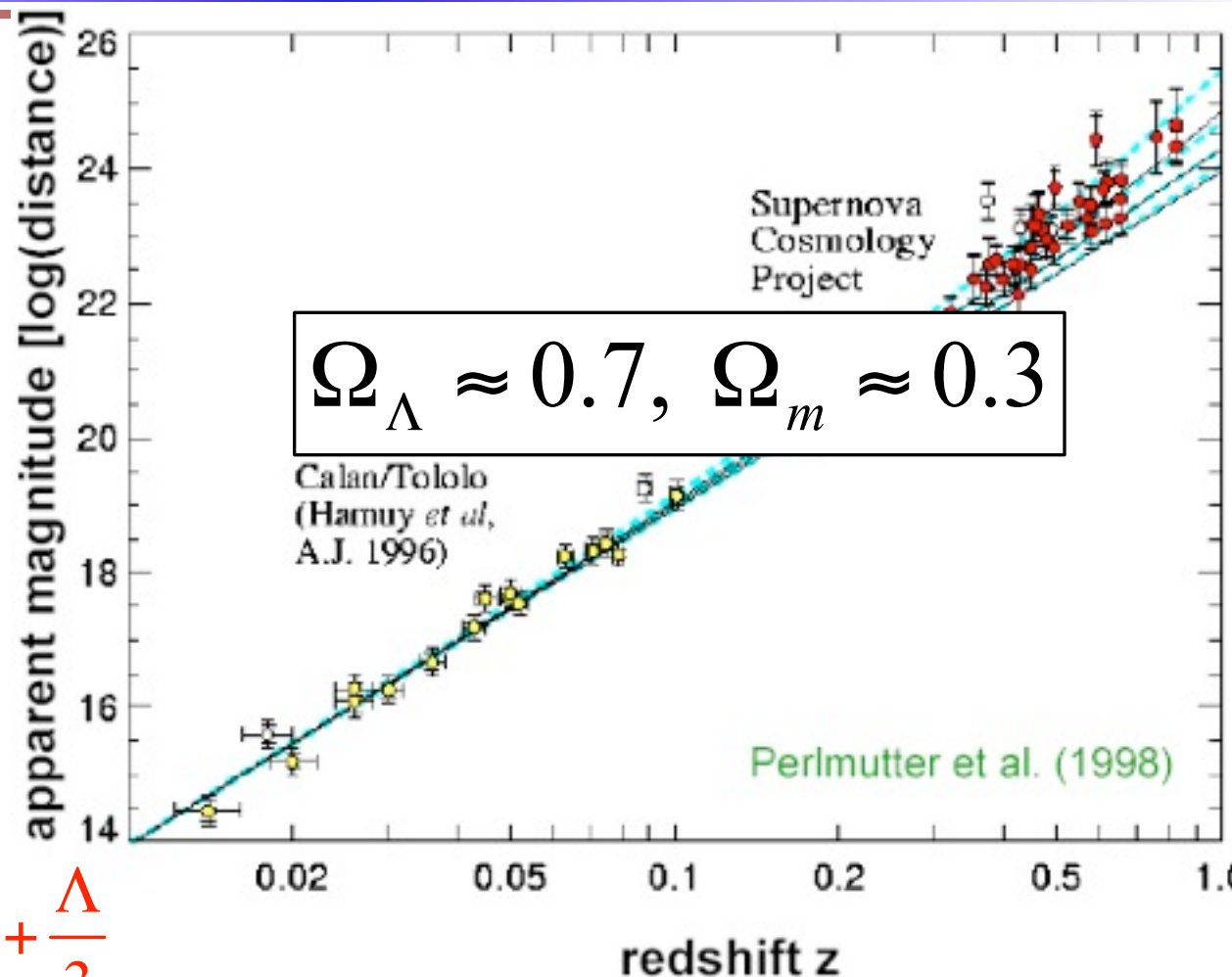
O Universo está em expansão acelerada.

Mas

$$\frac{\ddot{a}}{a} = -\frac{4\pi G}{3}(\rho + 3P) + \frac{\Lambda}{3}$$



Energia escura, ou constante cosmológica!





O Universo Acelerado

Diagrama de Hubble para grandes distâncias

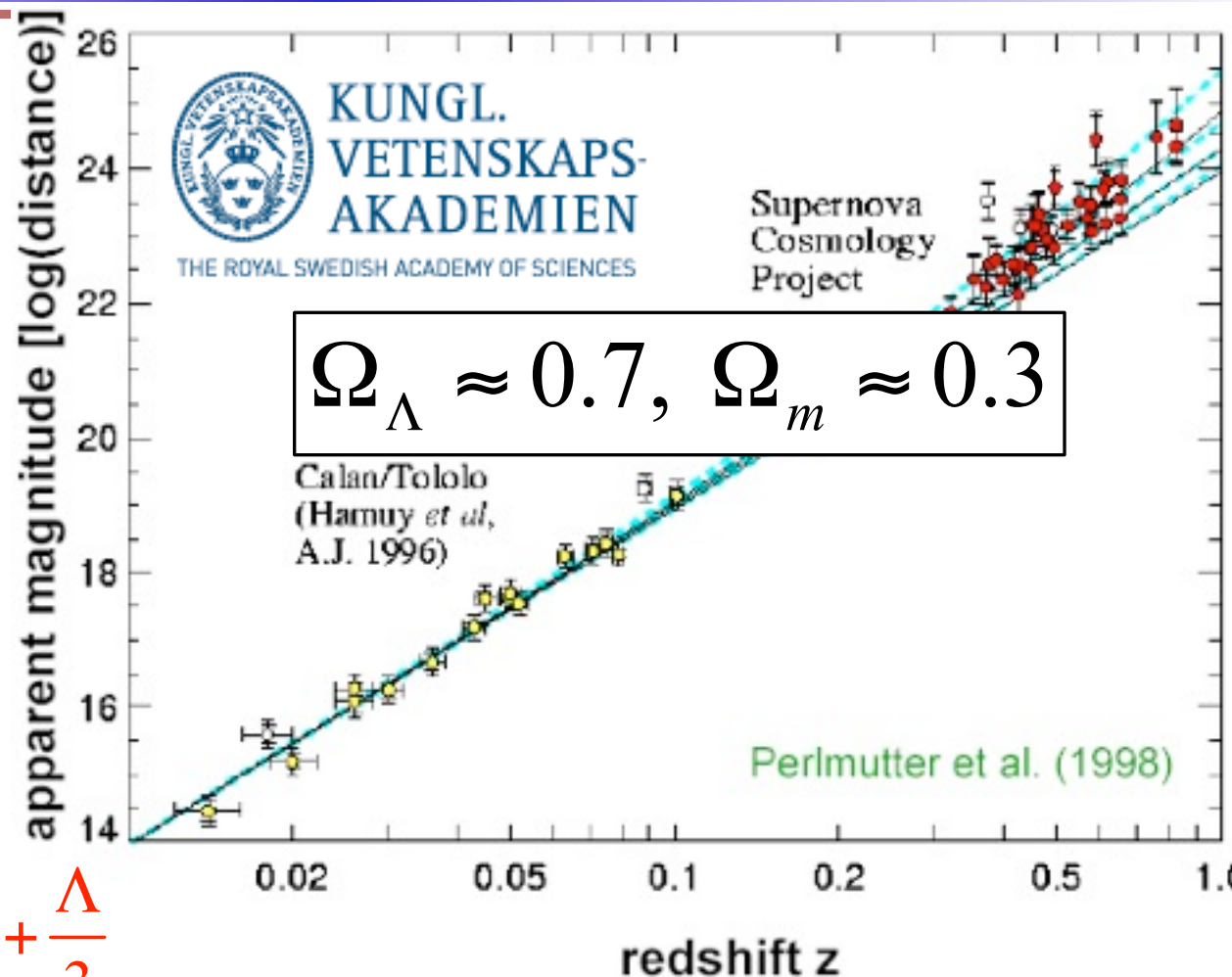
O Universo está em expansão acelerada.

Mas

$$\frac{\ddot{a}}{a} = -\frac{4\pi G}{3}(\rho + 3P) + \frac{\Lambda}{3}$$



Energia escura, ou constante cosmológica!





A Idade do Universo

Idade $\times H_0^{-1}$

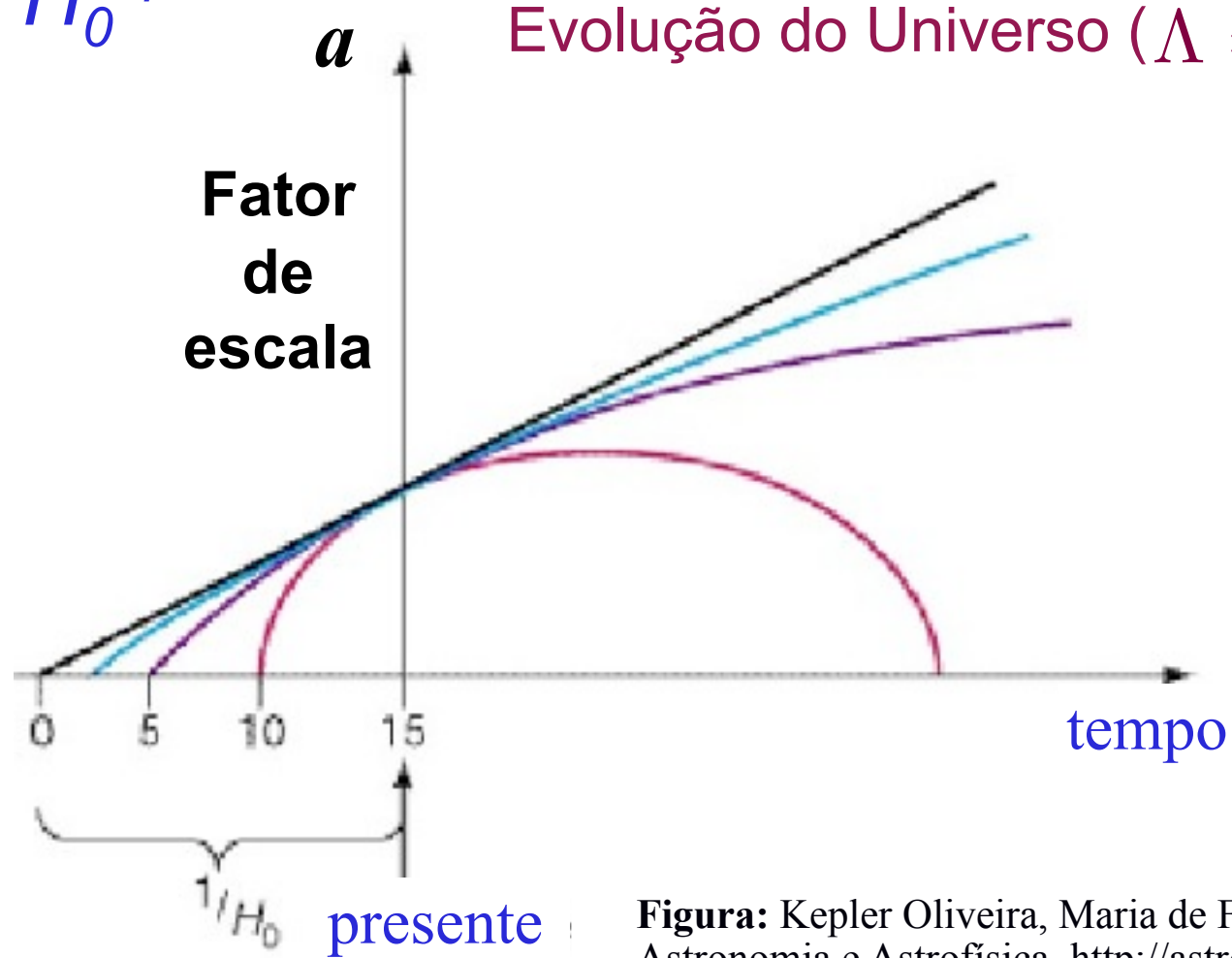
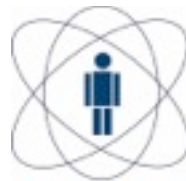


Figura: Kepler Oliveira, Maria de Fátima Saraiva
Astronomia e Astrofísica, <http://astro.if.ufrgs.br/>



A Idade do Universo

Idade $\times H_0^{-1}$

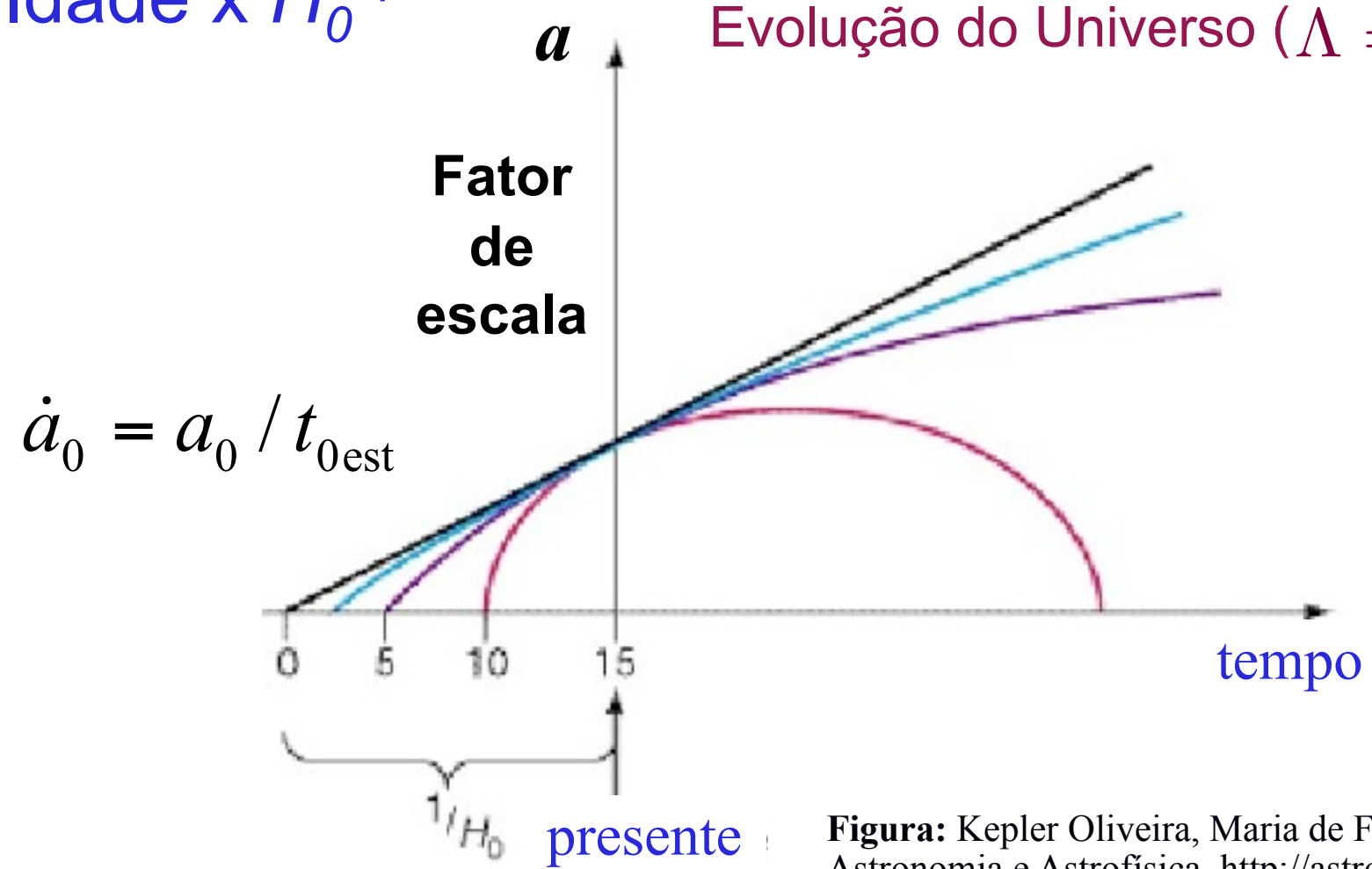
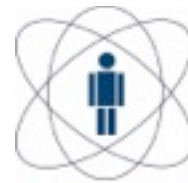
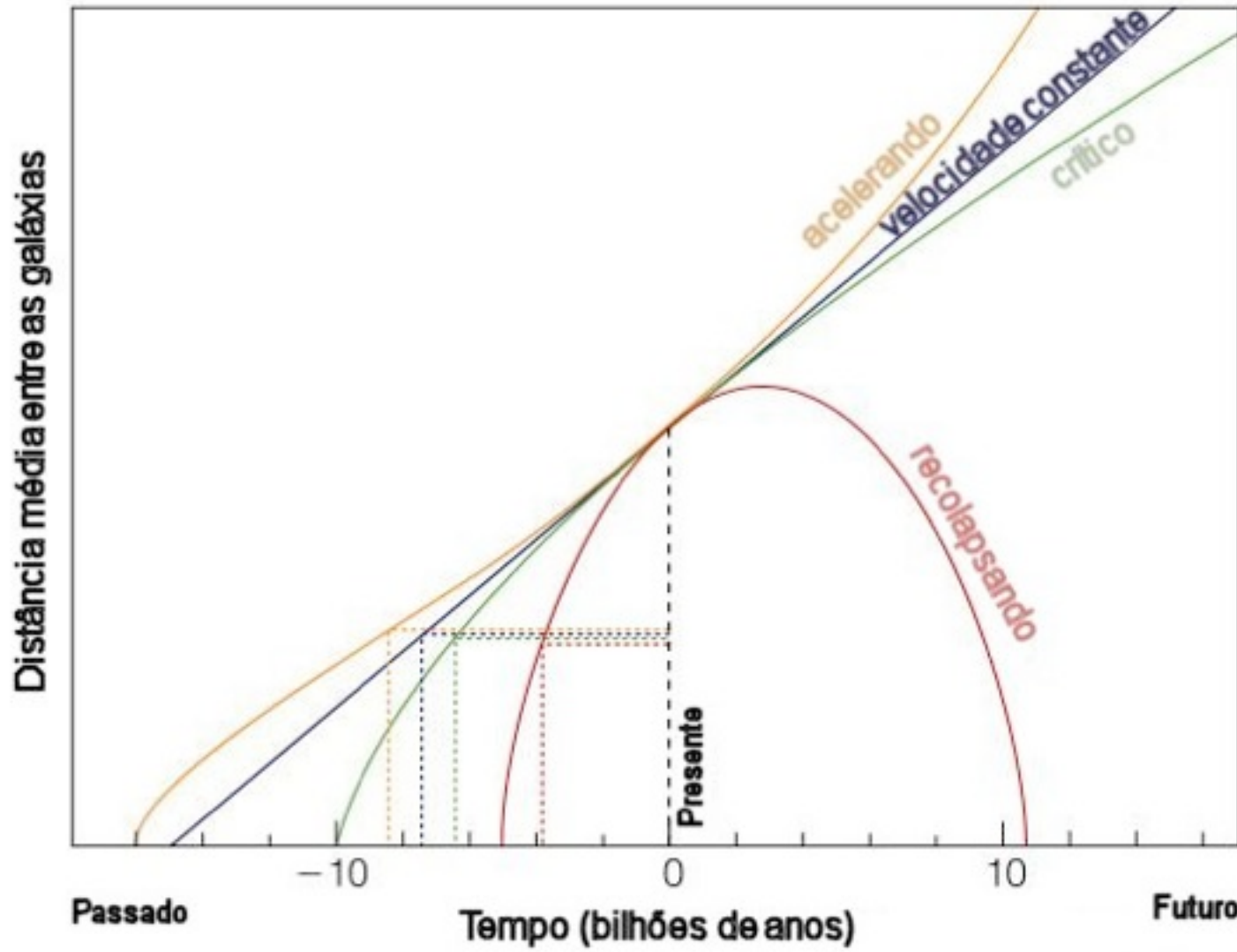
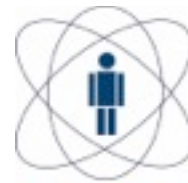


Figura: Kepler Oliveira, Maria de Fátima Saraiva
Astronomia e Astrofísica, <http://astro.if.ufrgs.br/>



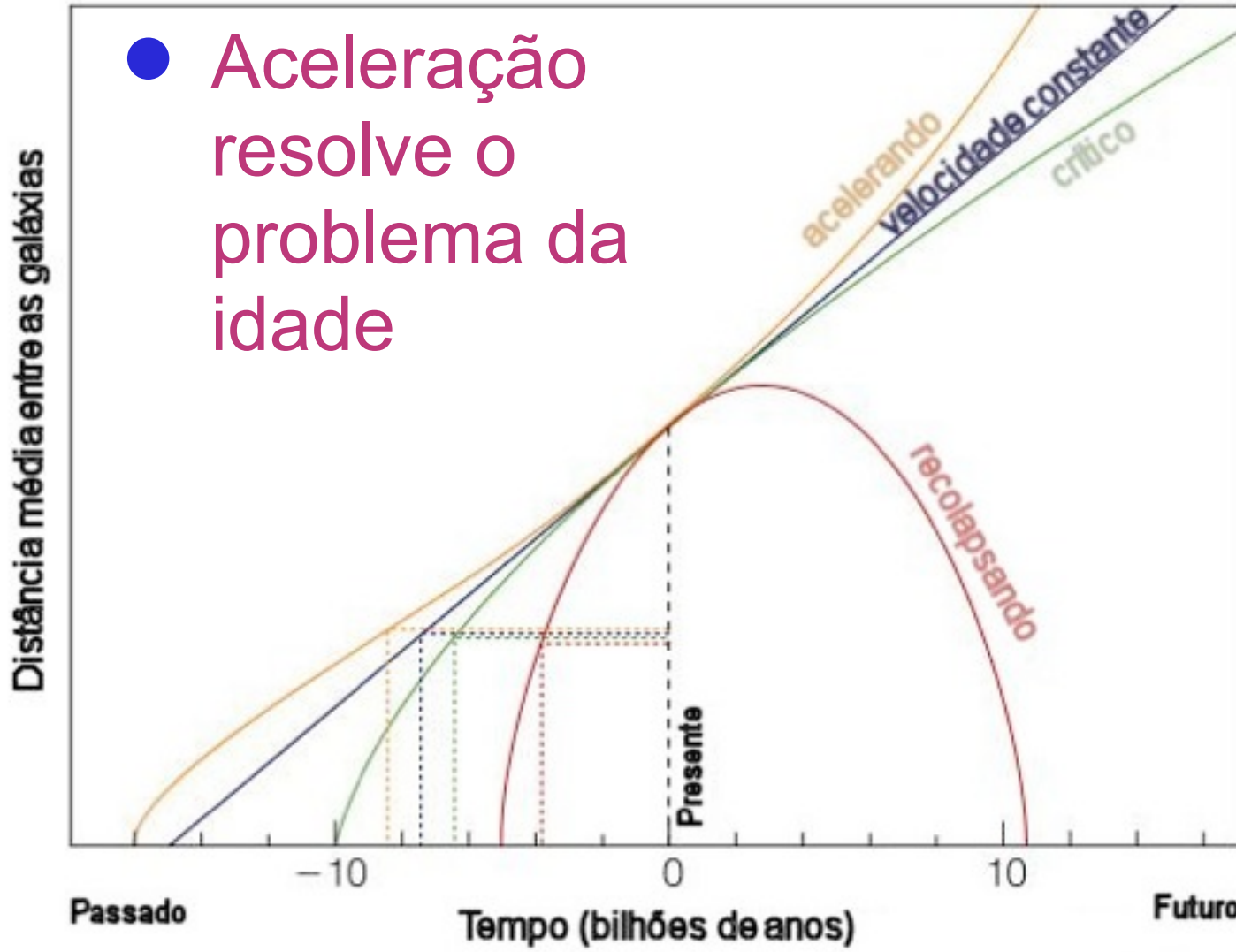
A Idade do Universo





A Idade do Universo

- Aceleração resolve o problema da idade

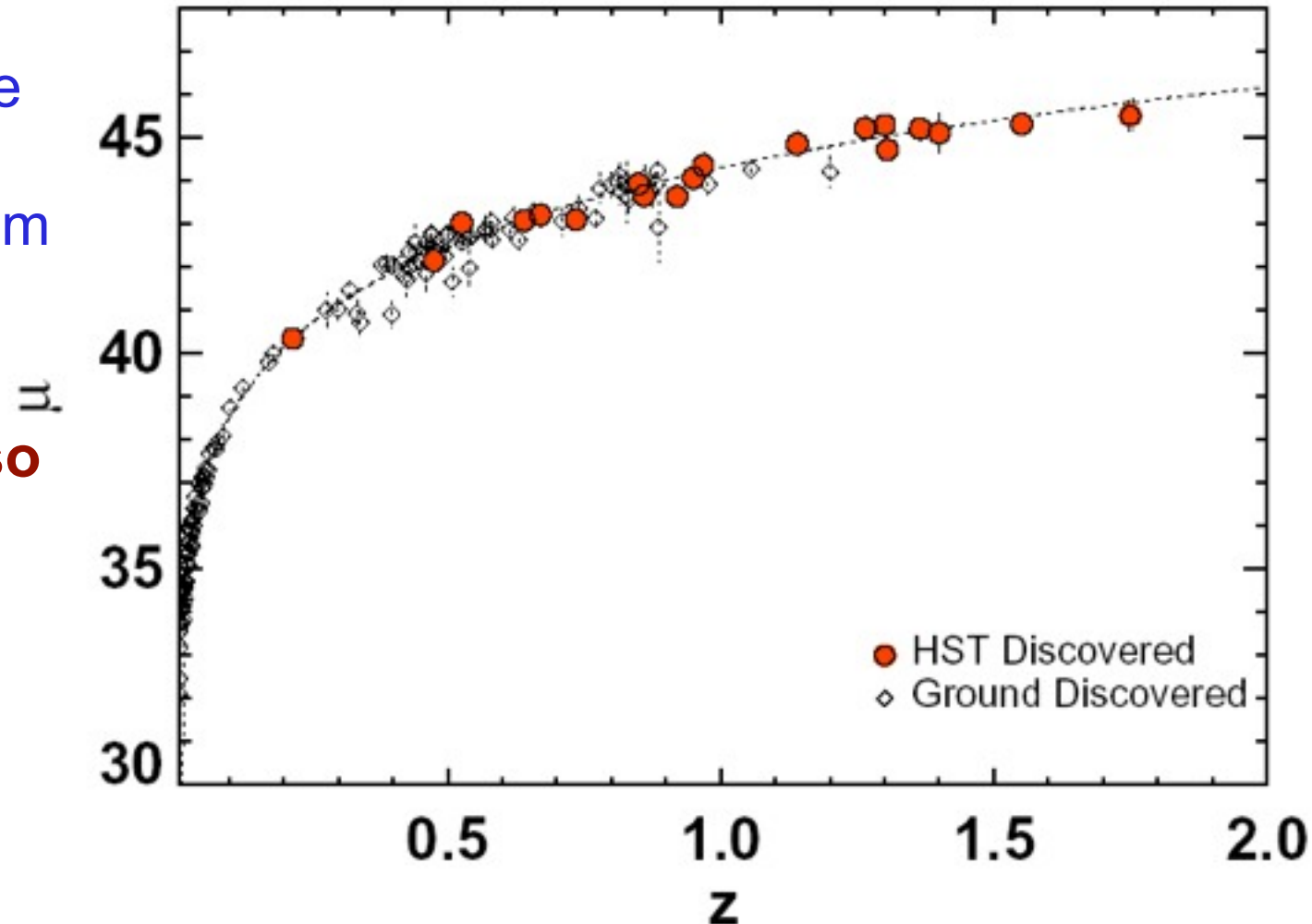




O Universo Acelerado

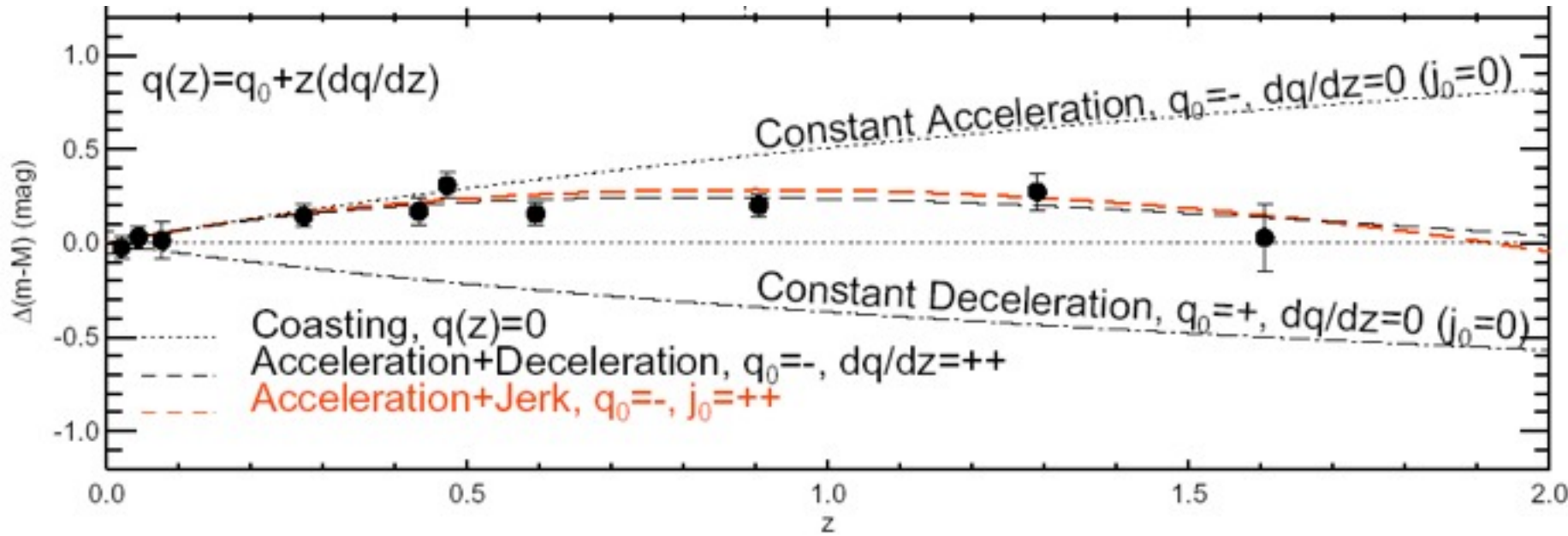
- Diagrama de Hubble para grandes z , com boa precisão

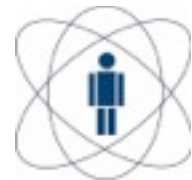
→ O Universo
está em
expansão
acelerada





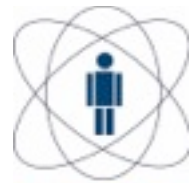
O Universo Desacelerando!





Energia Escura

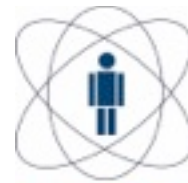
2/3 da densidade do universo estão sob a forma de Energia Escura!



Energia Escura

2/3 da densidade do universo estão sob a forma de Energia Escura!

Evidências:

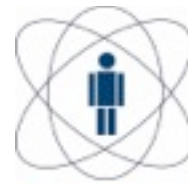


Energia Escura

2/3 da densidade do universo estão sob a forma de Energia Escura!

Evidências:

- Expansão acelerada de galáxias distantes

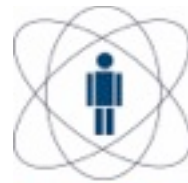


Energia Escura

2/3 da densidade do universo estão sob a forma de Energia Escura!

Evidências:

- Expansão acelerada de galáxias distantes
- Idade do Universo

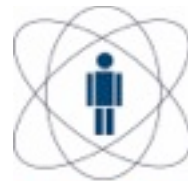


Energia Escura

2/3 da densidade do universo estão sob a forma de Energia Escura!

Evidências:

- Expansão acelerada de galáxias distantes
- Idade do Universo
- Curvatura pequena

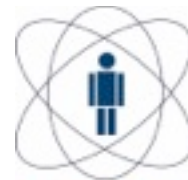


Energia Escura

2/3 da densidade do universo estão sob a forma de Energia Escura!

Evidências:

- Expansão acelerada de galáxias distantes
- Idade do Universo
- Curvatura pequena
- Efeito Sachs-Wolfe integrado

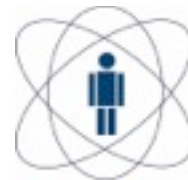


Energia Escura

2/3 da densidade do universo estão sob a forma de Energia Escura!

Evidências:

- Expansão acelerada de galáxias distantes
- Idade do Universo
- Curvatura pequena
- Efeito Sachs-Wolfe integrado
- Análise combinada de diversos observáveis cosmológicos



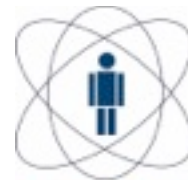
Energia Escura

2/3 da densidade do universo estão sob a forma de Energia Escura!

Evidências:

- Expansão acelerada de galáxias distantes
- Idade do Universo
- Curvatura pequena
- Efeito Sachs-Wolfe integrado
- Análise combinada de diversos observáveis cosmológicos

Candidatos (Taxonomia da Energia Escura):



Energia Escura

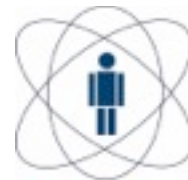
2/3 da densidade do universo estão sob a forma de Energia Escura!

Evidências:

- Expansão acelerada de galáxias distantes
- Idade do Universo
- Curvatura pequena
- Efeito Sachs-Wolfe integrado
- Análise combinada de diversos observáveis cosmológicos

Candidatos (Taxonomia da Energia Escura):

- Constante cosmológica



Energia Escura

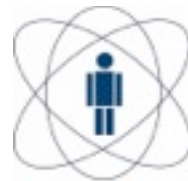
2/3 da densidade do universo estão sob a forma de Energia Escura!

Evidências:

- Expansão acelerada de galáxias distantes
- Idade do Universo
- Curvatura pequena
- Efeito Sachs-Wolfe integrado
- Análise combinada de diversos observáveis cosmológicos

Candidatos (Taxonomia da Energia Escura):

- Constante cosmológica
- Campo escalar:



Energia Escura

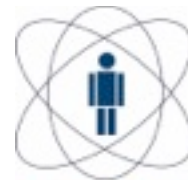
2/3 da densidade do universo estão sob a forma de Energia Escura!

Evidências:

- Expansão acelerada de galáxias distantes
- Idade do Universo
- Curvatura pequena
- Efeito Sachs-Wolfe integrado
- Análise combinada de diversos observáveis cosmológicos

Candidatos (Taxonomia da Energia Escura):

- Constante cosmológica
- Campo escalar:
 - Quintessência



Energia Escura

2/3 da densidade do universo estão sob a forma de Energia Escura!

Evidências:

- Expansão acelerada de galáxias distantes
- Idade do Universo
- Curvatura pequena
- Efeito Sachs-Wolfe integrado
- Análise combinada de diversos observáveis cosmológicos

Candidatos (Taxonomia da Energia Escura):

- Constante cosmológica
- Campo escalar:
 - Quintessência
 - Quartessência, k-essência, spintessência, meleca...



Energia Escura

2/3 da densidade do universo estão sob a forma de Energia Escura!

Evidências:

- Expansão acelerada de galáxias distantes
- Idade do Universo
- Curvatura pequena
- Efeito Sachs-Wolfe integrado
- Análise combinada de diversos observáveis cosmológicos

Candidatos (Taxonomia da Energia Escura):

- Constante cosmológica
- Campo escalar:
 - Quintessência
 - Quartessência, k-essência, spintessência, meleca...

Nova teoria da gravitação